

〔苏联〕 В.И.費奧多西耶夫著

# 液体火箭发动机 热应力部件的强度



国防工业出版社

# 液体火箭发动机 热应力部件的强度

[苏联] B. И. 费奥多西耶夫 著

包雨相、彭永龄 譯

黃駿校

國防工業出版社

1965

## 内 容 简 介

本书論述了在高温影响下构件的强度計算問題，研究了液体火箭发动机的主要部件。这些計算是按允許位移和允許变形的方法进行的。

本书是供工程設計人員、高等学校毕业生和具有强度工程計算基础的讀者閱讀。

ПРОЧНОСТЬ ТЕПЛОНАПРЯЖЕННЫХ УЗЛОВ  
ЖИДКОСТНЫХ РАКЕТНЫХ ДВИГАТЕЛЕЙ

〔苏联〕 В. И. Феодосьев

ОБОРОНГИЗ 1963

## 液体火箭发动机热应力部件的强度

包雨相、彭永龄 譯

黄 駿 校

国防工业出版社出版

北京市书刊出版业营业登记证字第 074 号

新华书店北京发行所发行 各地新华书店經售

国防工业出版社印刷厂印裝

850×1168 1/32 印張 6 9/16 167 千字

1965 年 9 月第一版 1965 年 9 月第一次印刷 印数：0,001—1,450 册

统一书号：15034·960 定价：（科六）1.00 元

# 目 录

序 .....	5
<b>第一章 液体火箭发动机强度計算的特点 .....</b>	<b>7</b>
§ 1. 发动机的构件 .....	7
§ 2. 发动机强度計算中所产生的一些問題的特点 .....	11
§ 3. 液体火箭发动机强度計算的一般形式和步驟 .....	13
<b>第二章 塑性理論和壳体理論的基本知識 .....</b>	<b>15</b>
§ 4. 弹性和塑性 .....	15
§ 5. 塑性理論的基本关系式 .....	18
§ 6. 简单加载条件 .....	23
§ 7. 壳体及其基本特点 .....	25
§ 8. 壳体的平衡方程式 .....	31
§ 9. 伽辽金 (Галеркин)方法 .....	36
<b>第三章 液体火箭发动机壳体的总承载能力 .....</b>	<b>42</b>
§ 10. 前言 .....	42
§ 11. 不考虑軸向力时圆筒形燃烧室壳体承载能力的估算 .....	43
§ 12. 不考虑軸向力的计算图表作图举例 .....	46
§ 13. 考虑軸向力时液体火箭发动机圆筒形壳体承载能力的計算 .....	49
§ 14. 考虑軸向力的圆筒形壳体的计算图表作图举例 .....	54
§ 15. 非圆筒形壳体总承载能力的計算 .....	59
§ 16. 非圆筒形壳体计算图表作图举例 .....	61
§ 17. 关于燃烧室总承载能力强度储备的一些意見 .....	65
§ 18. 工作状态下作用于壳体之間連接处的力的計算 .....	67
<b>第四章 壳体沿母線 (纵向) 連接时局部挠度的計算 .....</b>	<b>70</b>
§ 19. 局部挠度的概念 .....	70
§ 20. 壳体为纵向連接的基本关系式 .....	72
§ 21. 計算程序 .....	74

§ 22. 圆筒形壳体为纵向連接时局部撓度計算例題	82
<b>第五章 壳体为螺旋連接时局部撓度計算</b>	<b>90</b>
§ 23. 壳体为螺旋縫連接时局部撓度的基本关系式	90
§ 24. 函数 $u$ 和 $v$ 的选择及解題程序	92
§ 25. 壳体为螺旋連接时局部撓度計算例題	94
<b>第六章 壳体为点連接时局部撓度計算</b>	<b>105</b>
§ 26. 点連接的基本关系式	105
§ 27. 函数 $u$ , $v$ 和 $w$ 的选择	106
§ 28. 計算程序	111
§ 29. 壳体为点連接时局部撓度計算例題	114
<b>第七章 液体火箭发动机壳体計算的某些补充問題</b>	<b>133</b>
§ 30. 内壳体容許局部撓度的初步看法	133
§ 31. 加載的連續性和发动机重复起动对液体火箭发动机壳体工作的影响	135
§ 32. 发动机的工作时间对壳体应力和变形状态的影响	142
§ 33. 壳体为稀疏連接时内壳体的稳定性	143
<b>第八章 液体火箭发动机壳体参数振动</b>	<b>157</b>
§ 34. 参数振动	157
§ 35. 液体火箭发动机壳体中参数振动的产生	160
§ 36. 圆筒形壳体的参数共振	164
<b>第九章 液体火箭发动机平頂头部的計算</b>	<b>171</b>
§ 37. 計算形式的选择	171
§ 38. 基本的計算关系式	174
§ 39. 函数 $u$ 和 $w$ 的选择	178
§ 40. 計算程序	185
§ 41. 平頂头部計算例題	190
<b>参考文献</b>	<b>210</b>

# 序

大多数现代热机的特点是在高温状态下工作。因此，受热部件强度实际计算方法的建立是弹性与塑性实用理论的一个最迫切的任务。

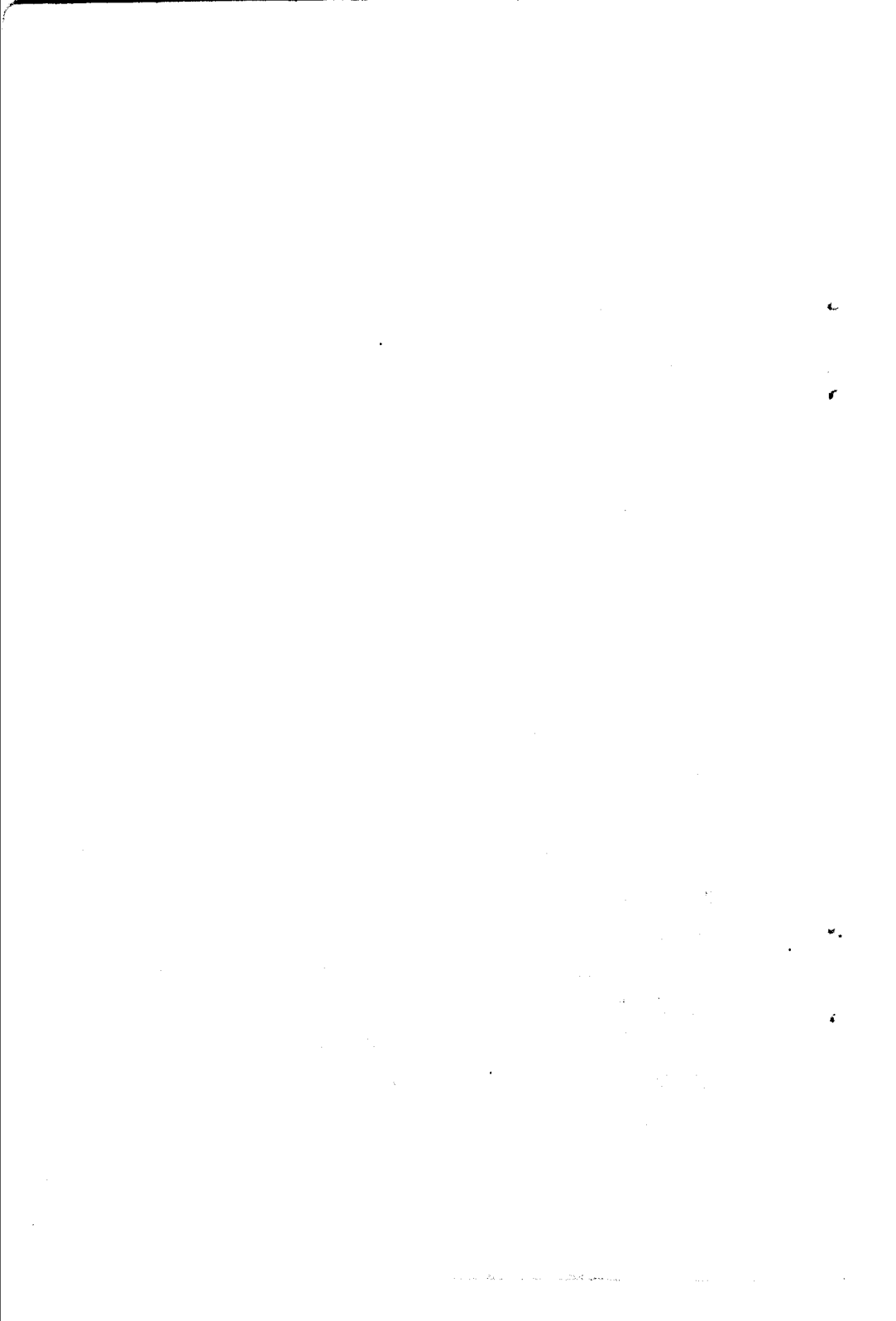
有关这方面的問題出版了許多著作。但是，在这些著作中，主要注意力集中在建立确定应力和变形状态的方法上，而如何利用已取得的成果来評定结构的可靠性問題却被忽略了。本书試圖在某种程度上填补这个空白。

很明显，热应力部件的可靠性問題不能以一般形式提出。这个问题只能針對具体的结构型式来解决。作者仅限于把液体火箭发动机作为在热应力状态条件下工作的典型结构来研究。本书完全沒有涉及渦輪泵组件、导管、蓄压器和附件的計算問題。这些不受热作用的部件的計算沒有独特的特点，基本上可以利用众所周知的强度計算方法进行。

对于热应力部件按照許用应力进行計算通常是不可能得到满意的結果的。因此，作者提出按容許位移和变形來計算，这是一种新的解决问题的方法。书中基本上包括了作者本人在1954~1955年这一时期內研究的成果。

本书的讀者对象为工程設計人員，亦可供高等学校学生課程設計和毕业設計使用。作者认为，讀者对材料力学課程已相当熟悉。为了解所提供的計算方法所必需的某些超出材料力学課程範圍的理論原理将在第二章中闡述。

作者以感激的心情接受对本书的所有批評。



# 第一章 液体火箭发动机强度計算的特点

## § 1 发动机的构件

現代液体火箭发动机装置是一种相当复杂的组件，除发动机本身外，还包括有一系列辅助机构、容器、供应系統和冷却系統的导管及自动器。

工程計算人員对于发动机辅助件的强度計算，諸如：导管、高压容器、彈簧、減压器薄膜、渦輪泵组件的高速旋轉盤和某些其他部件，通常是不会有很大困难的。現在，这些零件的計算方法已經研究得很充分，并为大家所熟悉，因此，对这些問題将不作闡述，而直接闡述发动机室的热应力部件。

液体火箭发动机室是一个薄壁结构的半封閉容器（图 1）。

发动机的主要部分是由燃燒室、临界截面区和噴管等所組成的壳体。壳体通常是軸对称的。只有某些多室的发动机上，壳体稍有不对称。但是，在这种情况下，也可以把壳体近似地看作为一个旋轉体。燃燒室有圓筒形的，也有形状比較复杂的，如球形的或橢圆形的。如图 1 所示，噴管部分可以是錐形的，也可以是双曲面形的。

液体火箭发动机壳体是双壁结构，即由两个相連接的壳体所組成，在壳体之間有冷却液流过（图 2）。液体火箭发动机大都是利用燃料組元中的一种来进行冷却，冷却液沿导管进入噴管末端

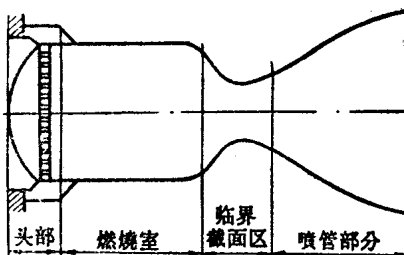


图 1

的集液环(見图2),由此进入壳体之間的空間,即所謂冷却套空間。然后,冷却液进入发动机头部,作为燃料組元通过噴嘴进入燃燒室。

很明显,冷却組元在噴嘴入口处的压力必須高于燃燒室內的燃气压力,否则燃料組元不可能注入发动机的工作空間。由于在冷却通道內的損失,噴管出口截面处集液环內的冷却液的压力要更高些。

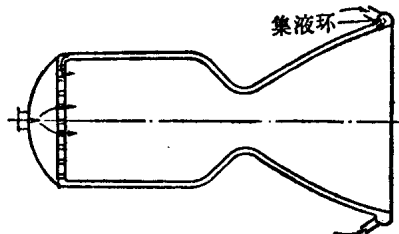


图 2

这样,在工作的发动机冷却套空間內的压力高于燃燒室內的压力。这一压力沿发动机长度是变化的,靠室头部方向稍有降低。

由工作空間作用到壳体上的燃气压力,沿发动机长度方向变化很大。作用在燃燒室上的压力最高。然后,压力沿发动机长度方向降低。粗略地說,在最狹的临界截面处的压力为燃燒室內压力的一半。噴管出口处的燃气压力接近大气压力,且在  $0.5\sim1.5$  公斤/厘米<sup>2</sup> 范圍內变化。图3所示是燃气压力  $p_r$  和冷却套空間內冷却液压力  $p_{sp}$  沿发动机长度方向的变化規律。可以看出,压力  $p_{sp}$  在各点上都大于  $p_r$ , 噴管出口截面处两者之間的压差特別大。在燃燒室和头部的結合区压差最小。

液体火箭发动机的壳体不仅受燃气力作用,而且承受溫度作用。

发动机工作空間內的燃氣溫度是非常高的。在燃燒室末端,这一溫度大約是  $3000\sim3500^{\circ}\text{C}$ ,而在噴管出口 截面則变化到  $1300\sim1800^{\circ}\text{C}$  (燃氣溫度变化特性表示在图3內)。由于冷却液的傳热作用,与燃气接触的室壁的溫度是比较低的,但是对壳体材料强度性能仍然有很大的影响。

壳体在临界截面区的受热最严重。室壁的最高溫度与燃气最

高溫度相比是向噴管方向偏移的（見圖3）。这是因为向室壁的傳热不仅取决于燃气溫度，而且也取决于燃气的流速。燃气流速愈大，傳热愈强烈。

与燃气接触的表面（即所謂燃气壁），溫度可达 $800\sim1000^{\circ}\text{C}$ 。这一溫度大小与一系列因素有关。在这些因素中，燃气溫度和冷却状态是首要的。冷却愈完善，室壁溫度愈低。

室壁溫度在很大程度上取决于室壁厚度。室壁愈厚，热阻愈大，室壁溫度也就愈高，因此材料强度性能就低一些。

在液体火箭发动机燃气所具有这样高溫条件下，不可能通过增加室壁厚度的方法来提高室内壁的强度。这会引起内壁过热和局部熔化，并被高速燃气所吹毁。

所以，内壳体必須作得相当薄，以保証必需的傳热并保持較低的壁溫。而另一方向，内壳体又必須是相当牢固的，以便能承受工作空間和冷却套空間的压差。

壳体溫度不仅沿发动机长度方向变化，而且沿室壁厚度也是变化的（图4）。沿内壳体厚度，溫度变化的規律一般是取線性的。

如上所述，发动机的外壳和内壳体是相互連接在一起的。这种連接在结构上可用各种不同的方法来实现。

下边我們把連接区分为稀疏連接和稠密連接。

第一种情况，壳体之間的連接是通过在冷却套空間內焊上数个加强圓环来实现的（图5）。环上有一排孔，便于冷却液通过。

由于加强圓环排列得很稀，内壳体在两相邻环之間的部分必須要有足够的剛度，以便能单独承受作用压力的压差。因而内壳体必須有足够的厚度。

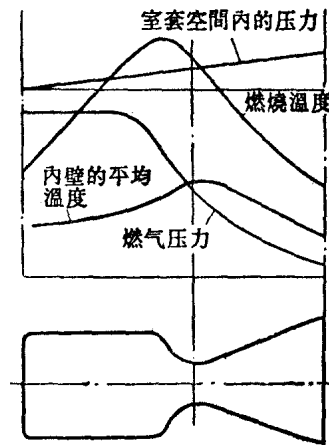


图 3

在高的热应力状态下或者往往在不可能实现强烈导热的情况下，内壳体必须作得更薄些，并加有大量的加强件。在这种情况下，采用稠密连接的壳体。

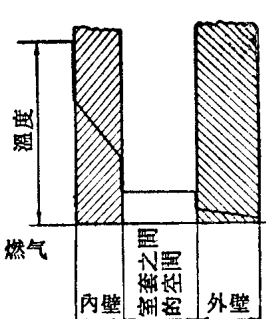


图 4

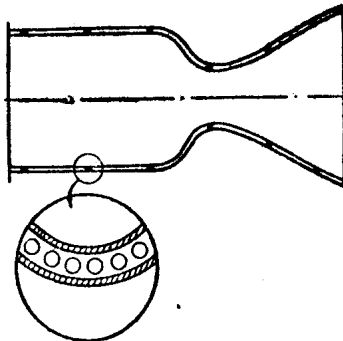


图 5

在稠密连接的情况下，在连接的范围内，壳体局部弯曲扩散区包含全部跨度的尺寸，连接区域内的壳体基本上在弯曲条件下工作。

已实现了的稠密连接的结构方案很多。在第四章、第五章和第六章内将详细研究三种最重要的连接型式。这三种连接型式是：纵向连接、螺旋连接和点连接。

供完善混气形成用的发动机室头部也属于热应力部件(图1)。头部构造随燃烧室形状和所采用的燃料组元而异。

对于平顶头部，首先遇到的就是强度问题。作为受力部件的平顶头部是由大量喷嘴连接起来的圆形板构成。头部是处在供应组元和燃烧室中燃气两方面压力差的作用之下。另外，头部同壳体一样也受到温度的影响。

平顶头部的计算将在第四章内研究。

上述壳体受载条件系指发动机的工作状态。除工作状态外，还可以研究增压状态。在增压过程中，当工作室没有压力和在室壁常温的情况下，增高了的压力输入发动机的冷却套空间。这是工艺检验的一道工序。在一系列情况下，发动机必须作强度计

算和增压状态計算。

必須指出，某些发动机在起动时，当燃烧室内的压力还没有增高，而在冷却套空间内已有压力时，可能会产生接近增压状态的条件。所以，有时又把增压状态当作起动状态来研究。

## § 2 发动机强度計算中所产生的一些問題的特点

在高溫作用下的壳体和头部的計算是液体火箭发动机强度計算中的最困难問題。因为这些零件按許用应力进行計算是不适宜的。在机械制造中所广泛使用的一般計算中，认为零件內的应力是彈性的，并且是屈服点或强度极限的某一个部分。最简单的計算證明，只是在壳体上有一溫度作用（沒有压力），壳体内产生的应力就显著地超过了彈性极限。

这就是說，把壳体当作彈性体来研究是不正确的。在这些情况下，零件（壳体）应在塑性区内計算，即在計算时要考慮到材料是不遵循虎克定律的。然而实际上这还是不够的。在这种計算中应确定什么問題？如果計算結果是确定壳体內的应力，設計師同样不能判断结构的工作能力。

如果材料具有明显的塑性（对液体火箭发动机的材料正是这样），則很难判断这种或那种应力的危險程度。

例如，我們研究最简单的情况。两端固定的杆子（图 6），其冷却是均匀的。杆內产生热应力。問題是杆子的危險程度如何？假如材料是脆性的，那么这个問題的解决就很簡單。这里可用熟悉的方法，即一般所采用的方法来計算彈性应力，并与强度极限相比較而得出安全系数。

对于具有高可塑性的材料是不可能热破坏，也就是不可能由溫度应力而产生破坏（这里沒有考虑材料熔化的可能性）。假若要使杆断裂，必須使它产生很大的伸长，这种伸长与溫度作用时所能产生的伸长相比要大得无可比拟。

因此，应当指出，溫度应力对所研究的杆來說不是危險的。

溫度应力是《消极的》，并呈現不大的溫度变形，可是当断裂时，伸长却是非常的大。

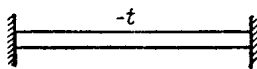


图 6

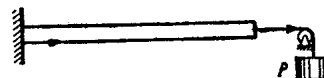


图 7

現在假定在同一个杆上加力  $P$  (图 7)。不管杆的材料是脆性的或是塑性的，应力是《积极的》。这里給定的是力和应力，而不是变形。这一載荷危險程度应当用屈服极限或强度极限与应力比較的方法来評定。

但是，不应认为由于力的作用結果总是产生“积极”应力，而在溫度作用下总是产生“消极”应力。

例如，在壳体承受的內压  $P$  (图 8)的情况下，被称为边界效应力的局部弯曲应力是“消极”的。如果只要材料是可塑性的，那么这种应力就不危險。在加有外力的区域內，同样的局部应力則可能是“积极”的●(图 9)。

上述一切表明，离开应力产生的特征而求出的应力还不可能評定結構受載的危險程度。

在作液体火箭发动机推力室这样复杂零件計算，即同时有力的因素和溫度的因素作用时，仅根据应力状态分析，甚至在充分考虑塑性变形的情况下，也不可能得到有关結構适用性的充分結論。

可以补充几句，在判断結構的适用性时，液体火箭发动机壳体的应力状态处于次要地位。对設計師來說，主要的是在发动机不太长的工作時間內，使壳体完全保持住原来的尺寸，或者在任何情况下，尺寸不能改变到破坏了发动机的工作状态。所以，根据位移的大小来判定結構的适用性和按容許位移进行計算，即在

● 不应把这里所用的“积极”和“消极”应力与通常所采用的积极变形和消极变形概念混同起来(見 § 4)。

塑性变形下作剛度計算是有意义的。

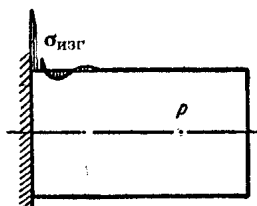


图 8

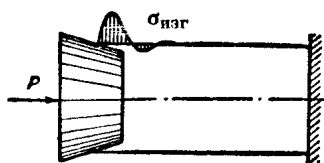


图 9

对发动机头部最重要的是在工作过程中保持住在平板上噴嘴收口处的密封性。当平板弯曲时，产生很大的延伸率而使收口展开。因此，不能根据許用应力計算，甚至也不能按位移計算，而是按容許变形（延伸率）来进行計算，而且这种变形当然是在塑性范围内。

总之，必須承认，允許塑性变形的液体火箭发动机的主要零件不应按許用应力进行計算。而必須根据結構元件的功用和任务来解决这个問題。此时，只有在这种情况下，即溫度应力会促使产生塑性变形时，才把所謂溫度应力代入計算。溫度的主要影响表現在对材料强度和机械性能的改变上。

其次，必須考慮到工作空間和冷却套空間的压力沿发动机长度方向不是恒定的。沿发动机长度方向溫度也是变化的。因此，在发动机若干段上，例如燃燒室、临界截面、噴管末端，即根据載荷和溫度变化規律在需要作驗算的地方，必須对液体火箭发动机的壳体作剛度和强度驗算。

現在我們來詳細分析并依次介紹液体 火箭发动机的計算公式。

### § 3 液体火箭发动机强度計算的一般形式和步骤

上述的一切充分表明，在强度計算之前，必須先作发动机的热力計算。例如，根据总的設計要求和发动机热力計算的結果选

定总的輪廓尺寸、燃燒室壓力和噴管的擴張比等。首先必須根據建立可靠的冷卻系統的條件，其次根據強度條件來確定室的內壁的厚度、殼體的連接方法、冷卻套空間的壓力大小等等。

在一般熱力計算和液流計算之後，也就是說求出了室壁溫度、工作空間和冷卻套空間內的壓力之後，即可進行發動機強度計算。因此，強度計算具有驗算的性質。如果確認發動機的某些部件不能滿足強度要求，那麼結構必須作相應的改變。這又經常會引起熱力狀態和液流狀態的改變，需要對熱力計算作修正。在這以後，還必須進行第二次強度計算。

在設計發動機時，上述的計算程序並不是唯一的。根據統一計算所綜合起來的熱力計算和強度計算的結果選定尺寸的方法是最正確的。

根據以前所研究的主要部件作發動機強度計算。那麼計算可分為殼體計算（這是最繁重的任務）、頭部計算和發動機結構部件計算。下面就是按這樣的次序闡述。

不管內外殼體是用什麼方法連接，首先殼體必須要保證滿足總的強度要求。這裡是把發動機室殼體看作是处在高壓（在燃燒室中的壓力）作用下的薄壁組合容器。在這種情況下，內外殼體之間的連接近乎相同的，並假定殼體的連接沿整個表面是均勻的。這就使我們可以撇開殼體在局部連接附近的特点，作一般的近似計算。這種近似計算是殼體總的強度計算的第一階段。殼體首先必須滿足用這種方法求出的一般強度條件。

計算的下一步是確定噴管部分、臨界區和燃燒室的內壁的局部撓度。局部撓度不應超過某一給定值。否則，會影響冷卻狀態而使發動機燒毀。因此，必須依據殼體的連接結構型式，按容許撓度用這種或那種方法進行殼體計算。如果殼體是稀疏連接，那麼，局部撓度可以用內殼穩定性來代替。

再一次強調指出，不僅對燃燒室，而且對具有最高溫度的臨界區以及工作室和冷卻套空間具有最大壓力差的噴管部分，也要

进行这种計算。

头部計算的主要任务是确定平頂头部在溫度和压差作用下的挠度，而主要的是确定在噴嘴固定区板件的延伸率。这一延伸率的大小决定着噴嘴卷边密封性是否破坏，这也是受載头部极限状态的标准。

在头部計算之后，应进行头部对壳体，壳体对支架的固定件的計算，并确定內外壳体連接的受載程度。

液体火箭发动机实际强度計算的一般情况就是如此。下面就是按这样的次序来闡述液体火箭发动机的强度計算。

可是应当指出，这是近似計算，当然还没有充分揭示出液体火箭发动机在实际工作条件下的結構状态的全部規律。

特別是在高溫下，在发动机工作的数分钟之内，液体火箭发动机的壳体材料会出现明显的瞬时蠕变特性。換句話說，在某些情况下，在发动机工作時間內，当发动机工作状态不变，即載荷和溫度不变时，壳体会显著地改变自己的尺寸。

## 第二章 塑性理論和壳体理論 的基本知識

### § 4 弹性和塑性

在外力作用下，物体产生变形，而当作用力除去后能完全恢复其原状的特性称之为彈性。与彈性相反，物体由于外力作用后而保留有殘余变形的特性称之为塑性。

不存在有完全彈性体和完全塑性体。众所周知，在微力作用下，任何物体基本上是彈性的，像解决彈性理論和材料力学的主要問題一样，可以不考慮塑性。在大載荷情况下，彈性不消失，可是塑性成为主要的。

从材料的拉伸-压缩的简单試驗就可清楚地說明塑性和彈性的現象。如图 10 所示，通常是用拉伸图来表示应力和延伸率之

間的关系。曲線的形状取决于材料的性质和做試驗时的溫度。在某种程度上，曲線的形状还取决于对試件加載的速度。对后一种关系，我們将不闡述，并认为在拉伸試驗机上所取下的拉伸图，其拉伸速度是恒定的。在一般情况下，每分钟試件拉伸速度在0.01%到1%范围内。

在图 10 中近似于直線的起始段  $OA$ ，变形几乎是完全彈性的。卸去載荷之后，試件恢复原来尺寸。此时，利用直接測量法来觀察塑性的特性相当困难。塑性的特性在多次加載过程中表現得最为明显，例如，彈性体自由振动时的內摩擦。

繼續加載时塑性变形很快地增加。如果把应力提高到某一值  $\sigma_1$ ，然后再卸去試件的載荷，那么卸載图形将是一个平行于  $OA$  的直線  $BC$ 。我們即得出  $OC$  段所示的塑性永久变形。

試驗所用的試件还保持有彈性。以  $CD$  段表示相应的彈性变形。

由于試件的加載图和卸載图不相重合，所以通常是以此来区分試件的积极变形和消极变形。在积极变形或积极应变的情况下，应力是增大的，而在消极变形和消极应变的情况下，应力是减小的。这样，图上的  $OB$  段相当于积极应变，而  $BC$  段相当于消极应变。

現在的問題是如何用解析法把应力和应变联系起来，而主要

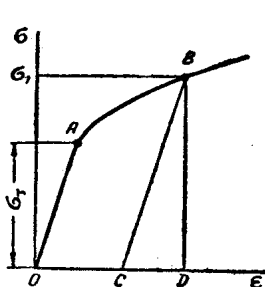


图 10

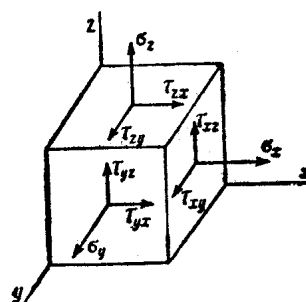


图 11